

УДК 621.382

**В. Н. Крылов**, д-р техн. наук,  
**Г. Ю. Щербакова**, канд. техн. наук,  
**Р. А. Писаренко**

## ВОССТАНОВЛЕНИЕ СИГНАЛОВ ПОСРЕДСТВОМ СЛЕПОЙ ДЕКОНВОЛЮЦИИ НА БАЗЕ МУЛЬТИСТАРТОВОГО МЕТОДА ОПТИМИЗАЦИИ В ПРОСТРАНСТВЕ ВЕЙВЛЕТ-ПРЕОБРАЗОВАНИЯ

**Аннотация.** Представлена реализация алгоритма слепой деконволюции на основе мультистартового метода оптимизации в пространстве вейвлет-преобразования. Приведены результаты моделирования, подтверждающие повышение вероятности сходимости к глобальному оптимуму при определении коэффициентов фильтра для решения задачи слепой деконволюции с помощью этого метода оптимизации.

**Ключевые слова:** мультистартовый метод оптимизации, вейвлет-преобразование, мультимодальная целевая функция, адаптивная фильтрация, слепая обработка сигналов

**V. Krylov, ScD.,  
G. Shcherbakova, PhD.,  
R. Pisarenko**

## SIGNAL RESTORATION BY MEANS OF BLIND DECONVOLUTION BASED ON MULTISTART OPTIMIZATION METHOD IN WAVELET TRANSFORM DOMAIN

**Abstract.** An implementation of blind deconvolution algorithm based on multistart optimization method in the wavelet transform domain is shown. The results of simulation confirm the increased likelihood of convergence to a global optimum for determining the filter coefficients for the blind deconvolution problem solutions with help of this optimization method.

**Keywords:** multistart optimization method, wavelet transform, multimodal goal function, adaptive filtering, blind signal processing

**В. М. Крилов**, д-р техн. наук,  
**Г. Ю. Щербакова**, канд. техн. наук,  
**Р. О. Писаренко**

## ВІДНОВЛЕННЯ СИГНАЛІВ ЗА ДОПОМОГОЮ СЛІПОЇ ДЕКОНВОЛЮЦІЇ НА БАЗІ МУЛЬТИСТАРТОВОГО МЕТОДУ ОПТИМІЗАЦІЇ В ПРОСТОРІ ВЕЙВЛЕТ-ПЕРЕТВОРЕННЯ

**Анотація.** Представлено реалізацію алгоритму сліпої деконволюції на основі мультистартового методу оптимізації у просторі вейвлет-перетворення. Наведено результати моделювання, що підтверджують підвищення ймовірності збіжності до глобального оптимуму при визначенні коефіцієнтів фільтра для вирішення завдання сліпої деконволюції за допомогою цього методу оптимізації.

**Ключові слова:** мультистартовий метод оптимізації, вейвлет-перетворення, мультимодальна цільова функція, адаптивна фільтрація, сліпа обробка сигналів

**Введение.** Многие физические процессы, такие, как прохождение сигнала через канал связи, геофизические измерения и наблюдения, линейные искажения изображений, могут быть описаны с помощью дискретной свертки. Для восстановления сигналов решается задача обращенной свертки — деконволюция. В классической постановке задачи выходной сигнал и искажающая функция (PSF, Point Spread Function) известны, и необходимо восстановить

оригинальный сигнал. Однако в ряде прикладных задач (анализ сейсмических данных, устранение размытости астрономических изображений, многоточечные сети связи, подавление эха в беспроводной телефонии, автоматизированные системы контроля качества печатных плат) требуется по наблюдаемому искаженному сигналу восстановить оригинал, не располагая сведениями об искажающей функции. Такая задача называется слепой деконволюцией [1]. Одним из путей ее решения является применение методов адаптивной фильтрации. При этом для подстройки коэффициентов филь-

© Крылов В.Н., Щербакова Г.Ю.,  
Писаренко Р.А., 2014

тра решается задача итеративной оптимизации выбранной целевой функции (ЦФ).

В указанных приложениях ЦФ часто является мультимодальной, поэтому традиционные подходы к решению этой задачи на основе градиентного спуска (итеративные алгоритмы слепой деконволюции класса Бассганга [2]: Decision Directed Mode [3], Godard [4], алгоритм слепого выравнивания для сигналов с постоянной амплитудой (CMA, Constant Modulus Algorithm) [5], Beneviste-Goursat [6]) могут привести к локальному минимуму [7]. Это связано с чувствительностью градиентных методов к начальной точке поиска.

Для предотвращения этого недостатка в работе предложено для определения коэффициентов фильтра использовать мультистартовый метод оптимизации в пространстве вейвлет-преобразования (ММО в пространстве ВП), который в меньшей степени зависит от стартовой точки поиска [8].

В данной работе был проведен анализ существующих методов итеративной слепой деконволюции. Была исследована возможность применения ММО в пространстве ВП для повышения вероятности сходимости к глобальному оптимуму при определении коэффициентов фильтра для решения задачи слепой деконволюции.

**Постановка задачи.** Свертка используется для описания искажений сигналов. В одномерном виде наблюдаемый сигнал может быть записан

$$g(n) = f(n)*h(n) + v(n), \quad (1)$$

где  $f(n)$  – исходный дискретный сигнал,  $h(n)$  – искажающая функция (PSF),  $v(n)$  – аддитивный шум,  $*$  – оператор дискретной свертки.

Восстановление  $f(n)$  и  $h(n)$  при наличии только наблюдаемого сигнала  $g(n)$  решается путем слепой деконволюции.

Для моделирования искажений изображений, таких как размытие и неправильная фокусировка вследствие недостаточной освещенности и низкого качества оптических средств, выражение (1) записывается в двумерном виде

$$g(m, n) = f(m, n)*h(m, n) + v(m, n), \quad (2)$$

где  $m, n$  – пространственные координаты пикселя на изображении размером  $M \times N$ ,  $f(m, n)$  – исходное неискаженное изображение,  $h(m, n)$  – искажающая функция (PSF),  $v(m, n)$  – аддитивный шум,  $g(m, n)$  – результат искажения, т.е. наблюдаемое изображение.

Устранение этих искажений изображений без повышения затрат на осветительно-фокусирующую аппаратуру имеет решающее значение в системах автоматизированной диагностики паяных соединений, контроля печатных плат и т.п. Поскольку доступно только наблюдаемое изображение  $g(n, m)$ , и в этом случае необходимо решить задачу слепой деконволюции, т.е. восстановления оригинала на основе частичной информации о его статистических свойствах.

Для решения поставленной задачи наиболее часто используются алгоритмы класса Бассганга [2 – 6]. К этому классу принадлежит наиболее изученный и применяемый в системах связи алгоритм слепого выравнивания для сигналов с постоянной амплитудой (CMA, Constant Modulus Algorithm) [5], минимизирующий целевую функцию

$$J_{CM} = E \left[ \left( |\hat{f}(n)|^2 - \gamma \right)^2 \right], \quad (3)$$

где  $E[\cdot]$  – оператор математического ожидания,  $|\hat{f}(n)|^2$  – приближение исходного сигнала, выходной сигнал фильтра на  $n$ -ой итерации,  $\gamma = \frac{E[f^4(n)]}{E[f^2(n)]}$  – дисперсионная константа [5].

В [9] была предложена двумерная версия этого алгоритма для восстановления зашумленных размытых изображений. Искаженное изображение проходит через двумерный фильтр с конечной импульсной характеристикой, параметры которого подстраиваются с целью минимизации дисперсии. В двумерном случае целевая функция принимает вид

$$J_{CM} = E \left[ \left( \hat{f}^2(m, n) - \gamma \right)^2 \right], \quad (4)$$

где  $E[\cdot]$  – оператор математического ожидания,  $\hat{f}(m, n)$  – приближение исходного

изображения,  $\gamma = \frac{E[f^4(m, n)]}{E[f^2(m, n)]}$  – дисперсионная константа [9].

Поиск оптимума целевых функций (3) (4) традиционно проводится методами градиентного спуска.

Анализ целевой функции для двумерного случая аналогичен одномерному. В общем случае эта функция не является унимодальной. То есть, как и для всех алгоритмов Бассганга, сходимость к глобальному минимуму не может быть гарантирована [7]. В [10] предлагается контролировать качество работы алгоритма визуальными методами, однако, это не всегда удобно на практике.

Для обхода проблемы сходимости к локальному решению в литературе описаны три основных направления [11]:

1) поиск и определение условий удачной инициализации алгоритма (невозможно без априорных знаний о свойствах канала связи);

2) разработка гладких целевых функций с последующим применением градиентных методов (характеризуется большой ресурсомостью и может повысить погрешность);

3) использование субградиентных и градиентных методов оптимизации на основе случайного поиска (могут отличаться низкой скоростью сходимости, а также чувствительностью к начальной точке поиска).

В данной работе для улучшения сходимости СМА предлагается использовать ММО в пространстве ВП, обладающий пониженной чувствительностью к локальным экстремумам и лучшей скоростью сходимости для функций типа «овраг» [8].

**Алгоритм слепой обработки сигналов на основе ММО в пространстве ВП.** На основе упомянутого выше метода оптимизации был разработан алгоритм обновления коэффициентов адаптивного фильтра по следующей схеме:

$$\mathbf{w}^{(n)} = \mathbf{w}^{(n-1)} - \mu^{(n)} WT_k \left( J_{CM} \left( \hat{f}^{(n)}, \mathbf{w}^{(n-1)} \right) \right), \quad (5)$$

где  $\mu^{(n)}$  – шаг алгоритма,  $n$  – номер итерации,  $k$  – номер старта;  $WT_k \left( J_{CM} \left( \hat{f}^{(n)}, \mathbf{w}^{(n-1)} \right) \right) = \{G_{1k}, G_{2k}, \dots, G_{Nk}\}$  – оценка направления поиска минимума целевой

функции в пространстве ВП при старте  $k$ , вычисляемая по формуле:

$$G_{jk} = \frac{1}{s_k} \sum_{i=-\frac{s_k}{2}}^{\frac{s_k}{2}} J \left( \hat{f}^{(n)}, w_j^{n-1} + ia \right) \cdot \Psi_k(i), \quad (6)$$

где  $a$  – шаг дискретизации вейвлет-функции (ВФ),  $s_k$  – длина носителя ВФ на  $k$ -ом старте,  $\Psi_k(i)$  – ВФ на  $k$ -ом старте (табл. 1),  $j=1, \dots, N$  – размерность вектора параметров (вектора весовых коэффициентов).

Для оценки направления поиска координаты экстремума (коэффициентов фильтра  $\mathbf{w}$  в (5)) используются симметричные и нестационарные вейвлет-функции.

В данной работе на первом этапе была

выбрана ВФ  $\Psi_1(i) = \begin{cases} 1, & \text{если } i=1, \dots, \frac{s_1}{2} \\ -1, & \text{если } i=-1, \dots, -\frac{s_1}{2} \end{cases}$ ,

а на последующих этапах – нестационарные ВФ указанного класса, полученные по схеме (табл. 1).

## 1. Параметры ВФ для ММО в пространстве ВП

Название	Обозначение	Значение параметра			
Номер старта	$k$	2	3	4	5
Масштаб ВФ	$\alpha_k$	1	2	3	–
Длина носителя	$s_k$	10	6	4	2
Вид ВФ	$\Psi_k(i)$	$\begin{cases} \frac{1}{\alpha_k( i +1)}, & i>0, \\ \frac{1}{\alpha_k( i +1)}, & i<0, \\ i \in [-\frac{s_k}{2}, +\frac{s_k}{2}], & i \neq 0 \end{cases}$	$\begin{cases} 1, & i=1 \\ -1, & i=-1 \end{cases}$		

**Результаты моделирования.** В данном разделе приведены результаты моделирования, показывающие целесообразность использования предлагаемого алгоритма. Без

нарушения общности исследуем случай обработки одномерного сигнала.

Для сравнения алгоритма на основе ММО в пространстве ВП с традиционным градиентным СМА был проведен ряд экспериментов.

**Эксперимент 1.** Через канал связи с функцией передачи  $F(z) = \frac{1}{1 + 0,6z^{-1}}$  проходит сигнал с амплитудно-импульсной модуляцией с уровнями  $\pm 1$ . Количество весовых коэффициентов для наглядности выберем равным двум. В данном случае целевая функция (3) симметрична относительно начала координат и содержит 2 локальных и 2 глобальных минимума с координатами  $\pm[0; 0,5575]$  и  $\pm[1; 0,6]$  соответственно.

Исследование работы алгоритмов проводилось для четырех наборов начальных координат:  $[-1; 1]$ ,  $[-0,5; 1,5]$ ,  $[0,5; 1,5]$ ,  $[1,5; -0,5]$ . Результаты моделирования приведены в табл. 2 (размер шага алгоритма  $\mu = 5 \cdot 10^{-3}$ , шаг дискретизации ВФ ( $a=0,001$ ) [12].

## 2. Сравнительная таблица результатов первого эксперимента

№	Начальные значения коэффициентов	Результирующие значения коэффициентов	
		СМА	ММО в пространстве ВП
1	$[-1; 1]$	$[0,0064; 0,588]$	$[0,9983; 0,5983]$
2	$[-0,5; 1,5]$	$[0,028; 0,5432]$	$[0,9978; 0,5982]$
3	$[0,5; 1,5]$	$[1; 0,6]$	$[0,9973; 0,5980]$
4	$[1,5; -0,5]$	$[1; 0,6]$	$[0,9988; 0,5991]$

Из табл. 2 видно, что для первых двух вариантов стартовой точки поиска градиентный алгоритм (СМА) сходится к нежелательному решению, в то время как предложенный алгоритм на основе ММО в пространстве ВП во всех случаях попадает в глобальный минимум.

Контурная диаграмма ЦФ и траектории движения в точку минимума приведены на рис. 1 – для СМА (рис. 1, а), для ММО (рис. 1, б).

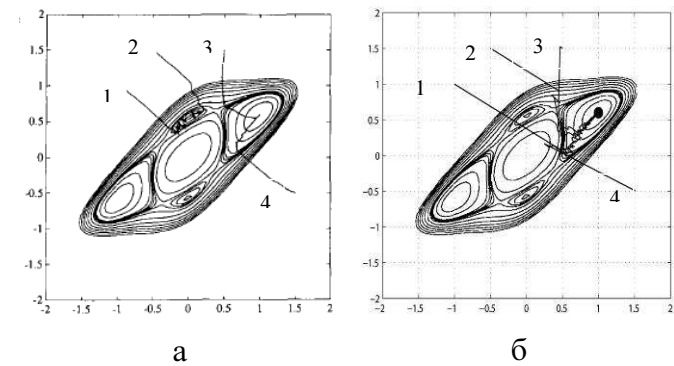


Рис. 1. Траектории движения в точку минимума для СМА (а) и для ММО в пространстве ВП (б)

На рис. 2 приведены графики среднеквадратичной ошибки для СМА (кривая 1) и ММО в пространстве ВП (кривая 2) при первом наборе настроек инициализации.

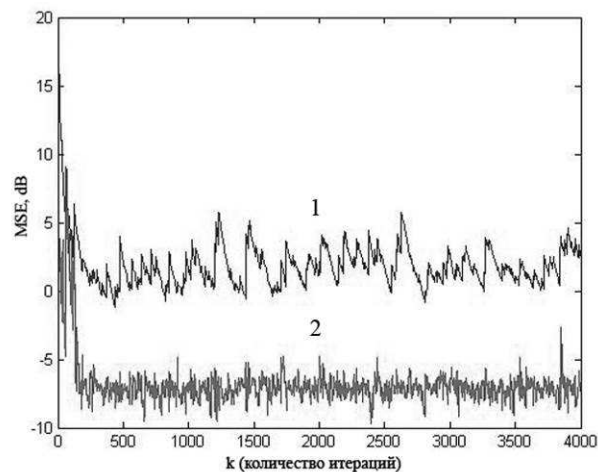


Рис. 2. Среднеквадратичная ошибка сходимости сравниваемых методов

**Эксперимент 2.** Рассмотрим теперь канал связи с функцией передачи  $F(z) = \frac{1}{0,8575(1+0,6z^{-1})}$  и шумом SNR=26 dB,

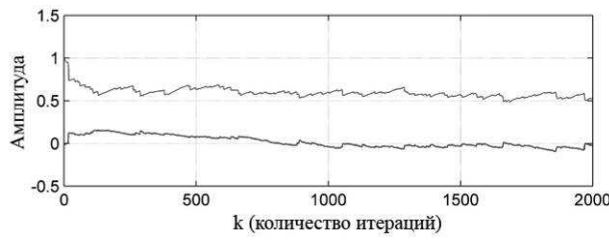
через который проходит сигнал с амплитудно-импульсной модуляцией с уровнями  $\pm 3$  и  $\pm 1$ . Координаты глобальных и локальных минимумов ЦФ (3)  $\pm[0,8531; 0,5117]$  и  $\pm[0; 0,5706]$  соответственно. Как видно, из-за присутствия шума положение минимума сместилось от идеальной обратной импульсной характеристики канала ( $\pm[0,8575; 0,5145]$ ) на некоторую величину.

Отобразим траектории итеративных изменений коэффициентов фильтра для срав-

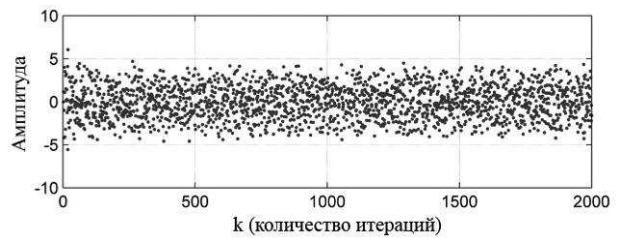
ниваемых алгоритмов (рисунки 3, 4 и 5). Начальные значения:  $[0; 1]$ ,  $[0,4; 0,8]$ ,  $[0; 0,5]$ . Размер шага алгоритма  $\mu = 4 \cdot 10^{-4}$ , шаг дискретизации ВФ ( $a=0,001$ ) [13].

Как ожидалось, при неудачно выбранных начальных точках поиска СМА снова

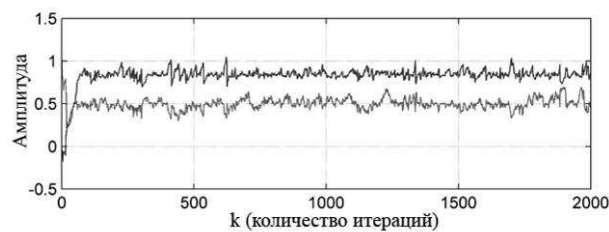
попадает в локальный минимум (рисунки 3, 4 и 5). В то время как ММО в пространстве ВП сходится к глобальному минимуму для всех выбранных стартовых значений.



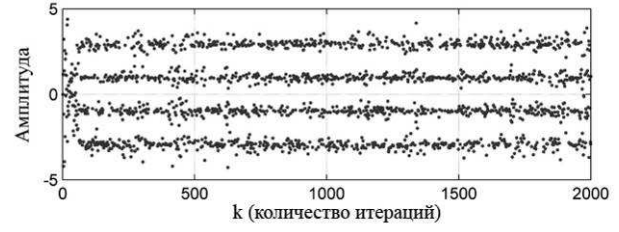
а



б

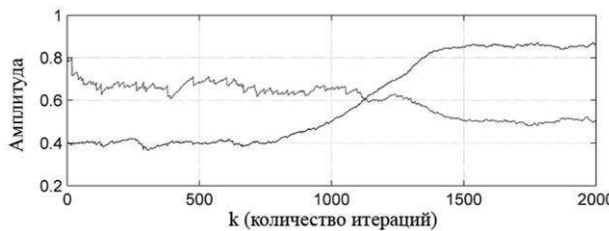


в

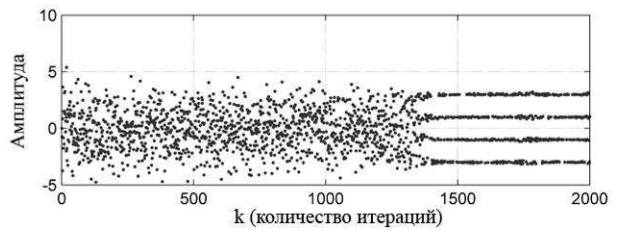


г

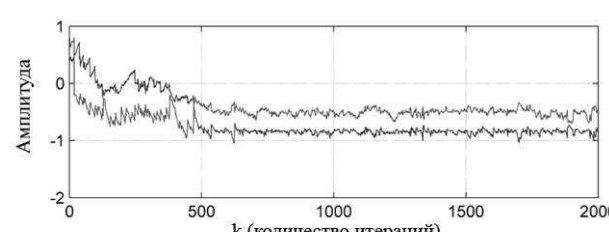
Рис. 3. Результаты моделирования при старте в  $[0; 1]$ : траектории коэффициентов (а) и результат деконволюции (б) для СМА, траектории коэффициентов (в) и результат деконволюции (г) для ММО в пространстве ВП



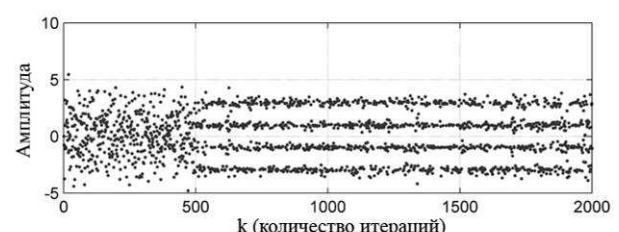
а



б



в



г

Рис. 4. Результаты моделирования при старте в  $[0,4; 0,8]$ : траектории коэффициентов (а) и результат деконволюции (б) для СМА, траектории коэффициентов (в) и результат деконволюции (г) для ММО в пространстве ВП

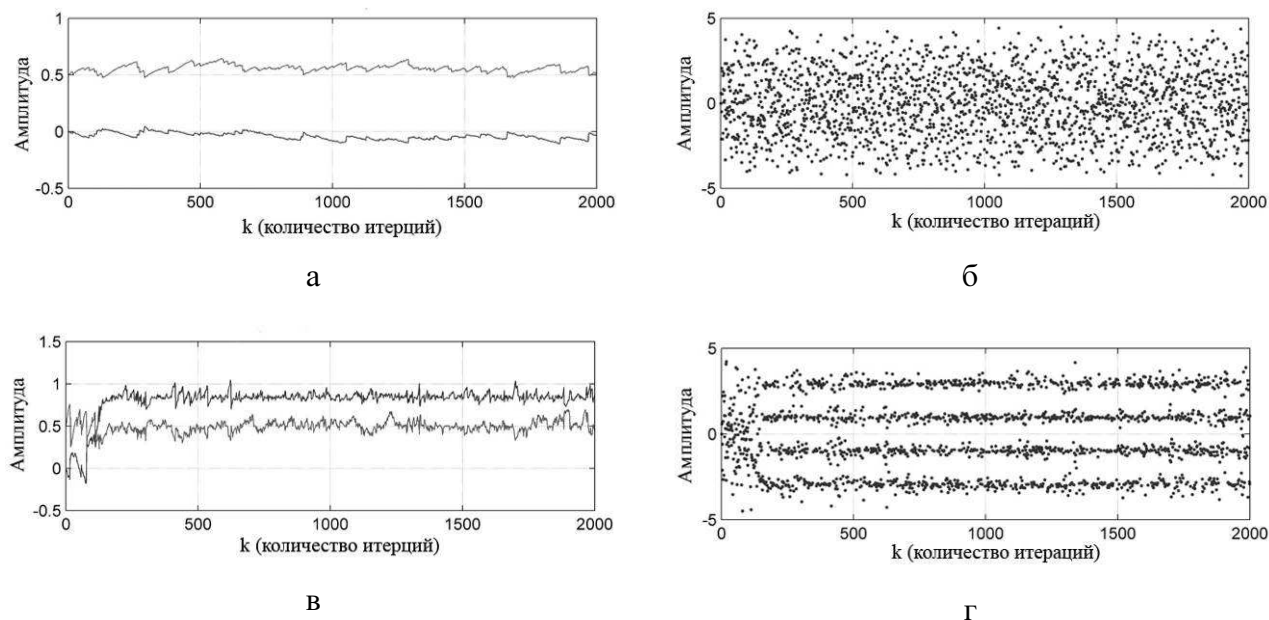


Рис. 5. Результаты моделирования при старте в  $[0; 0,5]$ : траектории коэффициентов (а) и результат деконволюции (б) для СМА, траектории коэффициентов (в) и результат деконволюции (г) для ММО в пространстве ВП

Приведены также графики примера работы алгоритма ММО в пространстве ВП во временной области (рис. 6) и кривой обучения (рис. 7) для сигнала с четырехуровневой амплитудно-импульсной модуляцией со значениями  $\pm 3$  и  $\pm 1$ .

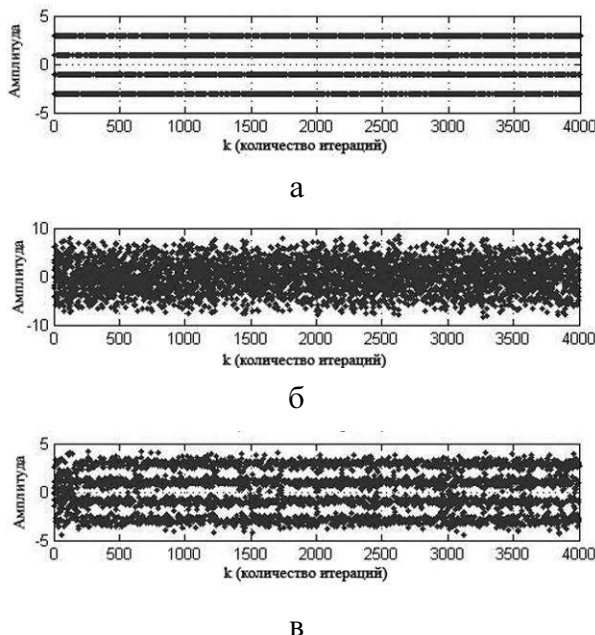


Рис. 6. Пример работы алгоритма ММО в пространстве ВП во временной области: а — исходный сигнал; б — искаженный сигнал; в — восстановленный сигнал с помощью ММО в пространстве ВП

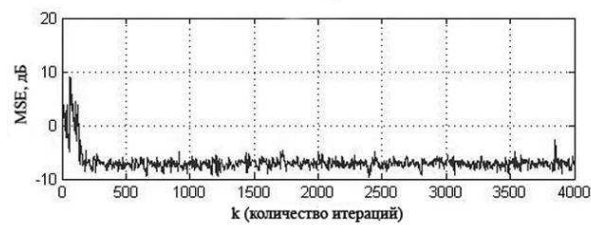


Рис. 7. Кривая обучения алгоритма ММО в пространстве ВП

**Выводы.** В данной работе представлен алгоритм слепой деконволюции на основе мультистартового метода оптимизации в пространстве вейвлет-преобразования для случая обработки одномерных сигналов, который минимизирует многоэкстремальные целевые функции, характерные для алгоритмов класса Бассганга.

В результате проведенных экспериментов была продемонстрирована способность нового алгоритма достигать глобального минимума целевой функции при различных начальных условиях, даже в тех случаях, когда традиционный алгоритм слепого выравнивания для сигналов с постоянной амплитудой (СМА, Constant Modulus Algorithm) сходился к локальному решению. Оценка особенностей применения данного метода для обработки изображений определяет направление дальнейших исследований.

## Список использованной литературы

1. Gonzalez R. C., Woods R. E., and Eddins S. L. Digital Image Processing Using MATLAB. – Upper Saddle River, N.J.: Pearson Prentice Hall; 2004. – 620 p.
2. Bellini S. Bussgang Techniques for Blind Equalization // IEEE GLOBECOM Conf. Rec. – 1986. – Pp. 1634 – 1640.
3. Haykin S. Adaptive Filter theory. – Englewood Cliffs, N.J. : Prentice-Hall, 1986. – 704 p.
4. Godard D. Self-recovering Equalization and Carrier Tracking in Two-dimensional data Communication Systems // Transactions on Communications. – 1980. – No. 28(11). – Pp. 1867 – 1875.
5. Treichler J., and Agee B. A New Approach to Multipath Correction of Constant Modulus Signals // IEEE Transactions on Acoustics, Speech and Signal Processing. – 1983. – No. 31(2), – Pp. 459 – 472.
6. Benveniste A., Goursat M. Blind Equalizers // IEEE Transactions on Communications. – 1983. – No. 32. – Pp. 871 – 883.
7. Godfrey R., Rocca F. Zero Memory Nonlinear Deconvolution. // Geophys. Prospecting. – 1981. – No. 29. – Pp. 189 – 228.
8. Щербакова Г. Ю. Исследование сходимости мультистартового субградиентного метода оптимизации в пространстве вейвлет преобразования / Г. Ю. Щербакова, В. Н. Крылов // Наукові праці ДонНТУ. Серія «Інформатика, кібернетика та обчислювальна техніка» – 2010.– № 12 (165). – С. 162 – 168.
9. Vural C., Sethares W. A. Blind Image Deconvolution via dispersion minimization // Digital Signal Processing – 2006. – No. 16(2). – Pp. 137 – 148.
10. Colonnese S., Campisi P., Panci G., and Scarano G. Blind Image Deblurring Driven by Nonlinear Processing in the Edge Domain // EURASIP Journal on Advances in Signal Processing. – 2004. – No.16. – Pp. 2462 – 2475.
11. Hatzinakos D., and Nikias C. Blind Equalization Using a Tricepstrum-based Algorithm // IEEE Transactions on Communications. – 1991. – No. 39(5). – Pp. 669 – 682.
12. Ding Z., Kennedy R. A., Anderson B. D., and Johnson C. R. Ill-convergence of Godard blind Equalizers in data Communication Systems // IEEE Transactions on Communications. – 1991 – No. 39(9). – Pp. 1313 – 1327.
13. Ilow J., Hatzinakos D., and Venetsanopoulos A. Blind Equalizers with Simulated Annealing Optimization for Digital Communication Systems // International Journal of Adaptive Control and Signal Processing. – 1994. – No. 8(5). – Pp. 501 – 522.

Получено 03.03.2014

## References

1. Gonzalez R.C., Woods R.E., and Eddins,, S.L. (2004), Digital Image processing using MATLAB, Pearson Prentice Hall, Upper Saddle River, N.J., 620 p. (In English).
2. Bellini S. (1986), Bussgang techniques for blind equalization, IEEE GLOBECOM Conf. Rec., pp. 1634 – 1640 (In English).
3. Haykin S. (1986), Adaptive filter theory, Prentice-Hall, Englewood Cliffs, N.J., 704 p. (In English).
4. Godard, D. (1980), Self-recovering Equalization and Carrier Tracking in Two-dimensional data Communication Systems, IEEE Transactions on Communications, No. 28(11), pp. 1867 – 1875 (In English).
5. Treichler J., and Agee B., (1983). A New Approach to Multipath Correction of Constant Modulus Signals, IEEE Transactions on Acoustics, Speech and Signal Processing, No. 31(2), pp. 459 – 472 (In English).
6. Benveniste A., and Goursat M., (1983), Blind equalizers, IEEE Transactions on Communications, No. 32, pp. 871 – 883 (In English).
7. Godfrey R., and Rocca F. (1981), Zero Memory Nonlinear Deconvolution, Geophys. Prospecting, No. 29, pp. 189 – 228 (In English).
8. Shherbakova G., and Krylov V. (2010), Issledovanie shodimosti mul'tistartovogo subgradientnogo metoda

optimizacii v prostranstve vejvlet preobrazovanija, [Convergence of Multistart Subgradient Method of Optimization in the Wavelet Transform Domain], *Naukovi Praci DonNTU. Serija "Informatika, Kibernetika ta Obchisljuval'na Tehnika"*, No. 12(165), pp. 162 – 168 (In Russian).

9. Vural C., and Sethares W.A., (2006), Blind Image Deconvolution via Dispersion Minimization, *Digital Signal Processing*, No. 16(2), pp. 137 – 148 (In English).

10. Colonnese S., Campisi P., Panci G., and Scarano G. (2004), Blind Image Deblurring Driven by Nonlinear Processing in the edge Domain, *EURASIP Journal on Advances in Signal Processing*, No. 16, pp. 2462 – 2475 (In English).

11. Hatzinakos D., and Nikias C.L. (1991), Blind Equalization using a Tricepstrum-based Algorithm, *IEEE Transactions on Communications*, No. 39(5), pp. 669 – 682 (In English).

12. Ding Z., Kennedy R. A., Anderson B. D., and Johnson C.R. (1991), Ill-convergence of Godard blind Equalizers in data Communication Systems, *IEEE Transactions on Communications*, No. 39(9), pp. 1313 – 1327 (In English).

13. Ilow J., Hatzinakos D., and Venetsanopoulos A., (1994), Blind Equalizers with Simulated Annealing Optimization for Digital Communication Systems, *International Journal of Adaptive Control and Signal Processing*, No. 8(5), pp. 501 – 522 (In English).



Крылов Виктор  
Николаевич,  
д-р техн. наук, проф.  
каф. прикладной мате-  
матики и информацион-  
ных технологий в биз-  
несе Одесского нац. по-  
литехн. ун-та,  
тел. 779-7453,  
E-mail:  
[victor\\_krylov@inbox.ru](mailto:victor_krylov@inbox.ru)



Щербакова Галина  
Юрьевна,  
канд. техн. наук,  
доц. каф. электронных  
средств и информа-  
ционно-компьютерных  
технологий Одесского  
нац. политехн. ун-та,  
тел. 734-8621,  
E-mail:  
[galina\\_onpu@mail.ru](mailto:galina_onpu@mail.ru)



Писаренко Радмила  
Алексеевна,  
аспирантка каф. элек-  
тронных средств и ин-  
формационно-компью-  
терных технологий  
Одесского нац. поли-  
техн. ун-та,  
тел. (066) 646-97-31,  
E-mail:  
[skazzi@bk.ru](mailto:skazzi@bk.ru)